

(19) [Issuing Country] Japan Patent Office (J2 layer structure P)

(12) [Gazette Type] Published Patent Gazette (A)

(11) [Publication No.] Patent Publication No. H11-261053

(43) [Date of Publication] September 24, 1999

(54) [Title of Invention] High Mobility Transistor

(51) [International Patent Classification, 6th edition]

H01L 29/778

21/338

29/812

[FI]

H01L 29/80 H

[Request for Examination] Not requested

[Number of Claims] 2

[Application Format] OL

[Total Pages] 4

(21) [Application No.] Application H10-57070

(22) [Filing Date] March 9, 1998

(71) [Applicant]

[Identification Number] 000005290

[Name or Designation] Furukawa Electric Co.

(72) [Inventor]

(72) [Name] Seiki YOSHIDA

(74) [Agent]

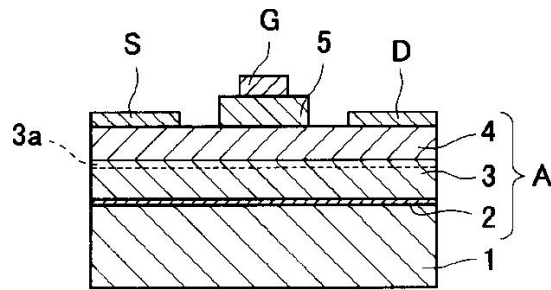
[Patent Attorney]

(74) [Name or Designation] Kanji NAGATO

(57) Abstract

Problem: To provide a high-mobility transistor (HEMT) to which a high voltage can be applied, comprising a GaN-based compound semiconductor.

Solution Means: A stacked structure 1A, comprised by stacking an i-type semiconductor layer 3 and an n-type semiconductor layer 4 in that order, is formed on a semi-insulating substrate 1; each semiconductor layer comprises a GaN-based compound semiconductor; a gate electrode G is loaded on n-type semiconductor layer 4 via a p-type semiconductor layer 5 comprising GaN-based compound semiconductor, and a source electrode S and drain electrode D are each respectively loaded directly on n-type semiconductor layer 4; p-type semiconductor layer 5 has a single-layer structure comprising a p-type GaN layer or p-type InGaN layer, or a double-layer structure comprising a p-type InGaN layer stacked on a p-type GaN layer.



Claims

Claim 1

A high mobility transistor in which a stacked structure, comprised by stacking an i-type semiconductor layer and an n-type semiconductor layer in that order, is formed on a semi-insulating substrate; each semiconductor layer comprises a GaN-based compound semiconductor; a gate electrode is loaded onto the n-type semiconductor layer via a p-type semiconductor layer comprising a GaN-based compound semiconductor, and a source electrode and drain electrode are each respectively loaded directly onto the n-type semiconductor layer.

Claim 2

The high mobility transistor of Claim 1, wherein the p-type semiconductor layer has a single-layer structure comprising either a p-type GaN layer or p-type InGaN layer, or a double-layer structure comprising a p-type InGaN layer stacked on a p-type GaN layer.

Detailed Description of the Invention

[0001]

Technical Field of the Invention

The present invention pertains to high mobility transistors (HEMTs) comprising a GaN-based compound semiconductor, and more particularly to novel HEMTs structures operable under the application of high voltages.

[0002]

Conventional Art

Use of HEMT is anticipated, for example, as a material for high-power microwave devices; at present these are normally manufactured using GaAs-based compound semiconductors. In one known structure, for example, an i-type GaAs layer and n-type $\text{GaAl}_x\text{As}_{1-x}$ layer are sequentially deposited on a semi-insulating substrate, a source electrode and drain electrode are loaded onto that n-type $\text{GaAl}_x\text{As}_{1-x}$ layer; as a further example, a gate electrode is loaded via a p-type GaAs layer.

[0003]

In HEMTs with this structure, an energy band diagram at $x = 0.25$ shows that the hetero-barrier (ΔE_c) at the heterojunction interface between an n-type $\text{GaAl}_{0.25}\text{As}_{0.75}$ layer and an i-type GaAs layer is approximately 0.26 eV, and at thermal equilibrium a 2-dimensional electron gas layer is formed at said junction interface. By then applying a reverse bias voltage of a

predetermined value between the source and drain electrodes and a forward bias voltage between the source and gate electrodes, electrons are supplied from the n-type $\text{GaAl}_x\text{As}_{1-x}$ layer to the i-type GaAs layer located below it, and the supplied electrons form a two-dimensional electron gas layer at the junction interface; electrons trapped within that gas layer then flow at high speed to the drain electrode to achieve HEMT operation. In such circumstances, the stronger the electric field strength immediately under the gate voltage is, the higher the electron trapping effect in the gas layer by 2D electrons will be, thereby facilitating high-speed operation.

[0004]

With GaAs-based HEMTs, however, the discontinuity band at the heterojunction interface is about 0.26 eV (when $x = 0.25$), and its breakdown field value is about 3×10^5 V/cm, making it difficult to achieve high-speed operation by applying a high voltage to the gate electrode to create a high electrical field directly underneath it. To address this problem, research with prototype HEMTs using GaN-based compound semiconductors has recently been undertaken.

[0005]

This is because the hetero-barrier (ΔE_c) at the heterojunction interface between GaN and $\text{GaAl}_x\text{N}_{1-x}$ is about 0.67 eV, which is approximately 2.6 times higher than a GaAs system, and its breakdown electric field value is 2×10^6 V/cm, which is an order of magnitude higher than the GaAs system, so the 2-D electron trapping effect in the electron gas layer can be increased and, theoretically, electron concentration can be made approximately 10 times higher than in a GaAs system.

[0006]

As an example, the following types of GaN-based HEMTs are manufactured using MOCVD. First, an AlN buffer layer is deposited on a semi-insulating sapphire substrate. An i-type GaN layer is then deposited on the AlN buffer layer using trimethyl gallium as the Ga source and ammonia as the N source, and an n-type AlGaN layer is deposited on the i-type GaN layer using trimethyl aluminum as the Al source. After then performing conventional photolithography and etching on the n-type AlGaN layer, a gate electrode, source electrode, and drain electrode are loaded at predetermined locations.

[0007]

For GaN-based HEMTs, a two-dimensional electron gas layer is formed at the heterojunction interface between the i-type GaN and n-type AlGaN layers -- specifically at the topmost layer of the i-type GaN layer; here electrons move at high speed to achieve HEMT operation. To accomplish high electron mobility, this i-type GaN layer must be as free as possible from impurities and crystal defects.

[0008]

Problems the Invention Seeks to Solve

While it is possible to apply higher voltages to GaN-based HEMTs above as compared to GaAs-based HEMTs, they cannot be said to have sufficient electron mobility to meet recent demands for still higher speed operation. The present invention seeks to solve the above problem[s] regarding conventional GaN-based HEMTs and to provide a new GaN-based HEMT structure with a high breakdown voltage.

[0009]

Means for Solving the Problems

To achieve the above object, the present invention provides a high mobility transistor in which a stacked structure, comprised by stacking an i-type semiconductor layer and an n-type semiconductor layer in that order, is formed on a semi-insulating substrate; each semiconductor layer comprises a GaN-based compound semiconductor; a gate electrode is formed on the n-type semiconductor layer via a p-type semiconductor layer comprising GaN-based compound semiconductor, and a source electrode and drain electrode are each respectively loaded directly on the n-type semiconductor layer; in particular, [the invention] provides a high mobility transistor wherein the p-type semiconductor layer has a single-layer structure comprising either a p-type GaN layer or p-type InGaN layer, or a double-layer structure comprising a p-type InGaN layer stacked on a p-type GaN layer.

[0010]

Embodiments of the Invention

Below we explain details of the HEMT of the invention based on Fig. 1, which depicts its basic structure. A stacked structure A -- comprising a buffer layer 2, an i-type semiconductor layer 3, and an n-type semiconductor layer 4 -- is formed on a semi-insulating substrate 1; a gate electrode G is loaded on the n-type semiconductor layer 4 via a p-type semiconductor layer 6, and a source electrode S and a drain electrode D are also respectively loaded on the n-type semiconductor layer 4.

[0011]

The HEMT is manufactured by depositing semiconductor layers of a predetermined composition on a semi-insulating substrate 1 by applying known epitaxial growth methods such as MOCVD and MOMBE to GaN-based compound semiconductors. Semi-insulating substrate 1 would preferably comprise a material that is lattice-matched between each of the semiconductor layers as they are deposited onto it, but because there is no such GaN-based material, a substrate made of a conventionally used semi-insulating material such as sapphire or single crystal Si is acceptable. A GaN layer is also selected as the buffer layer 2.

[0012]

i-type GaN, i-type InGaN, and the like are examples of GaN-based compound semiconductors constituting i-type semiconductor layer 3. i-type GaN is particularly preferable. i-type $\text{In}_x\text{Ga}_{1-x}\text{Al}_y\text{N}$ ($0 < x < 1$, $0 < y < 0.2$) may also be used for the i-type semiconductor layer 3 so long as the band gap energy is less than or equal to that of the high-purity i-type GaN described above.

[0013]

n-type AlGa_N, n-type Ga_N, and the like are examples of GaN-based compound semiconductors constituting an n-type semiconductor layer 4. Among these, the n-type AlGa_N is favorable. An n-type In_uGa_{1-u-v}Al_vN ($0 < u < 1$, $0 < v < 0.5$) may also be used as the n-type semiconductor layer so long as the band gap energy is less than or equal to that of the n-type AlGa_N above.

[0014]

Si metal (if deposited by MBE) or di-silane (if deposited by MOCVD) are examples of n-type dopants used in the deposition of this n-type semiconductor layer 4. Considering that source electrode S and drain electrode D are directly loaded on this n-type semiconductor layer 4, the dopant concentration is preferably set as low as possible to achieve ohmic contact between the two. E.g., if the n-type dopant is Si, the concentration would be about 5×10^{17} to $5 \times 10^{18} \text{ cm}^{-3}$.

[0015]

Next, p-type Ga_N and p-type InGa_N are examples of GaN-based compound semiconductors to constitute p-type semiconductor layer 5. This p-type semiconductor layer 5 may comprise one layer each of p-type Ga_N and p-type InGa_N, but a double layer structure consisting of a p-type InGa_N layer stacked on a p-type Ga_N layer is preferable. Metal Mg (if deposited by MBE) or cyclopentadienyl magnesium (if deposited by MOCVD) are examples of a p-type dopant when depositing this p-type semiconductor layer 5. The p-type dopant concentration in this case would be about 5×10^{17} to $5 \times 10^{18} \text{ cm}^{-3}$.

[0016]

Finally, Au/Pt, Al, and the like are examples of materials constituting gate electrode G, while Au, Ti/Al, and the like are [also] examples of materials constituting gate electrode G. HEMT with this structure has a pn junction structure under the gate electrode G. When a voltage is applied from gate electrode G, a two-dimensional electron gas layer 3a is formed at the heterojunction interface between n-type semiconductor layer 4 and i-type semiconductor layer 3, and more specifically at the topmost portion of i-type semiconductor layer 3, where electrons supplied from n-type semiconductor layer 4 are trapped and flow at high speed to drain electrode D, achieving HEMT operation.

[0017]

In this case, operation of the pn junction immediately under the gate electrode G enables voltage control with a small amount of carrier injection, and the controlled voltage further enables control of current flowing between channels, such that the 2-dimensional electron gas layer 3a can be controlled at high voltage, increasing the trapping effect on electrons in the 2-dimensional electron gas layer 3a and allowing high-speed electron mobility.

[0018]

In particular, if the p-type semiconductor layer 5 has a double layer structure of p-type Ga_N and p-type InGa_N as described above, this stacked structure functions as a kind of

quantum well structure, allowing quantum effect-induced tunnel current flow, which is favorable as it allows gate current to flow easily.

[0019]

Embodiments

An HEMT with the stacked structure shown in Fig. 1 was fabricated by MOMBE as follows. First, a GaN buffer layer 2 with a thickness of 50 Å was deposited on a semi-insulating Si single-crystal substrate 1 by epitaxial growth at a growth temperature of 640°C, using metallic Ga (5×10^{-7} Torr) as the Ga source and dimethyl hydrazine (5×10^{-5} Torr) as the N source.

[0020]

The N source was then switched over to ammonia (5×10^{-5} Torr), the growth temperature increased to 850°C, and epitaxial growth resulted in the deposit of an i-type GaN layer 3 with a thickness of 5000 Å. Deposition conditions were set so that the carrier concentration at this time was at or below $5 \times 10^{16} \text{ cm}^{-3}$.

[0021]

Metal Al (2×10^{-7} Torr) was then supplied, and metal Si (2×10^{-9} Torr) was supplied as an n-type dopant; epitaxial growth was continued at a growth temperature of 850°C to deposit an n-type AlGaIn layer 4 at a thickness of 500 Å. Deposition conditions were set to achieve a carrier concentration of $1 \times 10^{18} \text{ cm}^{-3}$. The metal Si supply was then cut off, metal Mg (5×10^{-9} Torr) was supplied as a p-type dopant, and the deposition operation continued to deposit a p-type GaN layer 6 with a thickness of 500 Å on the n-type AlGaIn layer 4. Deposition conditions were set so that carrier concentration was $1 \times 10^{18} \text{ cm}^{-3}$.

[0022]

Dry etching was then performed using a plasma-converted mixture of hydrogen, argon, and methane as an etchant to etch away the p-type GaN layer except where the gate electrode was to be loaded and exposing the n-type InGaIn layer 4. An SiO₂ film was then deposited by plasma CVD to cover the entire surface, and after patterning with photoresist, the area including the part where the gate electrode was to be loaded was masked, [leaving] the portion where source and drain electrodes were to be loaded open, and metal Al deposited on the exposed n-type InGaIn layer 4 to load source electrode S and drain electrode D.

[0023]

Lastly, after etching away the masking and opening the SiO₂ film beneath it, the source electrode S and drain electrode G locations were masked with SiO₂ film, Au was deposited in the opening portions, and gate electrodes G were loaded above the p-type GaN layer 5 to fabricate the HEMT shown in Fig. 1. With this HEMT, a drain current (I_{ds}) of 60 mA under an applied gate voltage of 3V and saturation above a drain voltage of 2V were obtained. I.e., a constant value for this saturation characteristic was maintained even when V_{ds} was raised to 100V, and no loss of HEMT functionality occurred.

[0024]

Mobility of this HEMT structure at room temperature was $600 \text{ cm}^2/\text{V} \cdot \text{sec}$, and a good mobility value of $7500 \text{ cm}^2/\text{V} \cdot \text{sec}$ was shown at 77 K.

[0025]

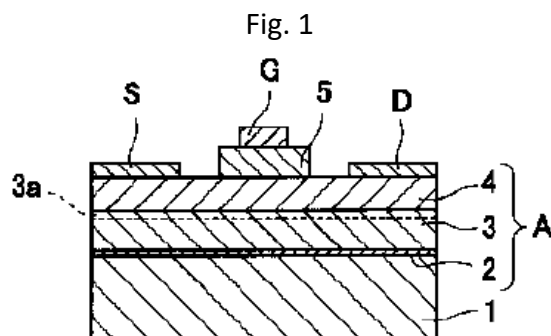
Effect of the Invention

As is clear from the above description, the GaN-based HEMT of the present invention does not fail even when the gate electrode is increased to V, and is able to operate at higher speeds than conventional GaN-based HEMTs. This effect is brought about by use of a pn junction structure between the gate electrode and channel layer, forming a two-dimensional electron gas layer with excellent electron trapping effect at the junction interface between i-type and n-type semiconductor layers.

Brief Description of Figures

Fig. 1: A cross section showing the stacked structure of the HEMT of the invention.

- 1 semi-insulating substrate
- 2 buffer ["bap"] layer (GaN layer)
- 3 i-type semiconductor layer (i-type GaN layer)
- 3a 2D electron gas layer
- 4 n-type semiconductor layer (n-type InGaN layer)
- 5 p-type semiconductor layer (p-type GaN layer)
- S source electrode
- G gate electrode
- D drain electrode



(19)日本国特許庁 (J P)

(12) 公 開 特 許 公 報 (A) (11)特許出願公開番号

特開平11 - 261053

(43)公開日 平成11年(1999)9月24日

(51) Int.Cl. ⁶	識別記号	庁内整理番号	F I	技術表示箇所
H 0 1 L 29/778			H 0 1 L 29/80	H
21/338				
29/812				

審査請求 未請求 請求項の数 2 O L (全 4 数)

(21)出願番号 特願平10 - 57070

(22)出願日 平成10年(1998)3月9日

(71)出願人 000005290

古河電気工業株式会社

東京都千代田区丸の内2丁目6番1号

(72)発明者 吉田 清輝

東京都千代田区丸の内2丁目6番1号 古河電
気工業株式会社内

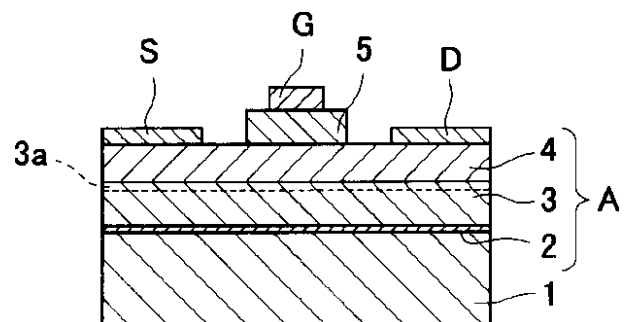
(74)代理人 弁理士 長門 侃二

(54)【発明の名称】 高移動度トランジスタ

(57)【要約】

【課題】 GaN系化合物半導体から成り、高圧印加が可能な高移動度トランジスタ (H E M T) を提供する。

【解決手段】 半絶縁性基板 1 の上に、 i 型半導体層 3 , n 型半導体層 4 をこの順序で積層して成る積層構造 1 A が形成され、各半導体層はいずれも GaN 系化合物半導体から成り、 n 型半導体層 4 の上には GaN 系化合物半導体から成る p 型半導体層 5 を介してゲート電極 G が装荷され、また n 型半導体層 4 の上には直接ソース電極 S とドレイン電極 D がそれぞれ装荷されており、 p 型半導体層 5 が、 p 型 GaN 層もしくは p 型 I n G a N 層の 1 層構造、または p 型 GaN 層に p 型 I n G a N 層を積層して成る 2 層構造である。



【特許請求の範囲】

【請求項 1】 半絶縁性基板の上に、i 型半導体層、n 型半導体層をこの順序で積層して成る積層構造が形成され、前記各半導体層はいずれも GaN 系化合物半導体から成り、前記 n 型半導体層の上には GaN 系化合物半導体から成る p 型半導体層を介してゲート電極が装荷され、また前記 n 型半導体層の上には直接ソース電極とドレイン電極がそれぞれ装荷されていることを特徴とする高移動度トランジスタ。

【請求項 2】 前記 p 型半導体層が、p 型 GaN 層もしくは p 型 InGa_{1-x}N 層の 1 層構造、または p 型 GaN 層に p 型 InGa_{1-x}N 層を積層して成る 2 層構造である請求項 1 の高移動度トランジスタ。

【発明の詳細な説明】

【0001】

【発明の属する技術分野】本発明の GaN 系化合物半導体から成る高移動度トランジスタ (HEMT) に関し、更に詳しくは、高電圧印加の下で作動できる新規な構造の HEMT に関する。

【0002】

【従来の技術】HEMT は、例えば高出力マイクロ波素子の素材として期待されていて、現在では GaAs 系化合物半導体を用いて製造されているのが通例である。例えば、半絶縁性基板の上に i 型 GaAs 層と n 型 GaAl_{1-x}As_x 層を順次成膜し、そしてその n 型 GaAl_{1-x}As_x 層の上に、ソース電極とドレイン電極が装荷され、更に例えば p 型 GaAs 層を介してゲート電極が装荷された構造のものが知られている。

【0003】この構造の HEMT の場合、 $x = 0.25$ のときのエネルギーバンド図をみると、n 型 GaAl_{0.25}As_{0.75} 層と i 型 GaAs 層のヘテロ接合界面におけるヘテロ障壁 (E_c) は約 0.26 eV になっていて、熱平衡状態においては、当該接合界面に 2 次元電子ガス層が形成される状態になっている。そして、ソース電極とドレイン電極の間に所定値の逆バイアス電圧を印加し、またソース電極とゲート電極の間に順バイアス電圧を印加することにより、前記 n 型 GaAl_{1-x}As_x 層からはその下に位置する i 型 GaAs 層へ電子が供給され、供給された電子は前記接合界面で 2 次元電子ガス層を形成し、そのガス層内に閉じ込められた状態で電子はドレイン電極へと高速で流れて HEMT 動作を実現する。その場合、ゲート電圧の直下における電界強度が高いほど、2 次元電子がガス層への電子の閉じ込め効果は高まるので、高速動作は実現しやすくなる。

【0004】しかしながら、GaAs 系 HEMT の場合、ヘテロ接合界面における不連続バンドは 0.26 eV 程度 ($x = 0.25$ のとき) であり、その絶縁破壊電界値は 3×10^5 V/cm 程度であるため、ゲート電極に高電圧を印加してその直下に高電界を形成することにより高速動作を実現するという点で難がある。このような問題

に対処することを目的として、最近、GaN 系化合物半導体を用いた HEMT の試作研究が行われている。

【0005】これは、GaAl_{1-x}N_x と GaN とのヘテロ接合界面におけるヘテロ障壁 (E_c) は約 0.67 eV であり、GaAs 系の場合に比べて約 2.6 倍と高い不連続バンドを有し、またその絶縁破壊電界値も 2×10^6 V/cm であり、GaAs 系の場合に比べて 1 桁大きいので 2 次元電子ガス層内への電子の閉じ込め効果を高めることができ、理論的には、GaAs 系に比べて電子濃度を 10 倍程度大きくすることができるからである。

【0006】この GaN 系 HEMT としては、例えば次のようなものが MOCVD 法を用いて製造されている。すなわちまず、半絶縁性のサファイア基板の上に、AlN バッファ層が成膜される。ついで、Ga 源としてトリメチルガリウム、N 源としてアンモニアを用いて前記 AlN バッファ層の上に i 型 GaN 層が成膜され、更にトリメチルアルミニウムを Al 源として前記 i 型 GaN 層の上に n 型 AlGa_{1-x}N 層が成膜される。そして、この n 型 AlGa_{1-x}N 層に対して常法のホトリソグラフィとエッチングを行ったのち、所定の箇所にゲート電極、ソース電極、およびドレイン電極が装荷される。

【0007】この GaN 系 HEMT の場合、i 型 GaN 層と n 型 AlGa_{1-x}N 層のヘテロ接合界面、具体的には i 型 GaN 層の最上層に 2 次元電子ガス層が形成され、ここを電子が高速移動して HEMT 動作を実現する。このとき、電子の高移動度を実現するためには、この i 型 GaN 層には不純物や結晶欠陥が極力存在していないことが必要である。

【0008】

【発明が解決しようとする課題】しかしながら、上記した GaN 系 HEMT の場合、GaAs 系 HEMT に比べれば高い電圧の印加は可能であるが、更なる高速動作が要求されている昨今の状況に対しては必ずしも充分な電子移動度を発揮するものとはいえない。本発明は従来の GaN 系 HEMT における上記した問題を解決し、高耐圧性を備えている新規構造の GaN 系 HEMT の提供を目的とする。

【0009】

【課題を解決するための手段】上記した目的を達成するために、本発明においては、半絶縁性基板の上に、i 型半導体層、n 型半導体層をこの順序で積層して成る積層構造が形成され、前記各半導体層はいずれも GaN 系化合物半導体から成り、前記 n 型半導体層の上には GaN 系化合物半導体から成る p 型半導体層を介してゲート電極が装荷され、また前記 n 型半導体層の上には直接ソース電極とドレイン電極がそれぞれ装荷されていることを特徴とする高移動度トランジスタ、とくに、前記 p 型半導体層が、p 型 GaN 層もしくは p 型 InGa_{1-x}N 層の 1 層構造、または p 型 GaN 層に p 型 InGa_{1-x}N 層を積層して成る 2 層構造である高移動度トランジスタが提供さ

れる。

【0010】

【発明の実施の形態】以下、本発明のHEMTにつき、その基本構造を示す図1に基づいて詳細に説明する。本発明のHEMTは、半絶縁性基板1の上に、バッファ層2、i型半導体層3、n型半導体層4から成る積層構造Aが形成され、n型半導体層4の上には、p型半導体層6を介してゲート電極Gが装荷され、また、ソース電極S、ドレイン電極Dがそれぞれ装荷された構造になっている。

【0011】このHEMTは、GaN系化合物半導体に対してMOCVD法やMOMBE法など公知のエピタキシャル成長法を適用することにより、半絶縁性基板1の上に所定組成の半導体層を成膜していくことによって製造される。ここで、半絶縁性基板1としては、この上に成膜していく各半導体層との間で格子整合している材料から成ることが本来は好ましいが、GaN系に関してはそのような材料は存在しないので、従来から使用されている材料、例えばサファイア、Si単結晶などの半絶縁性材料の基板であればよい。また、バッファ層2として

【0012】i型半導体層3を構成するGaN系化合物半導体としては、例えば、i型GaN、i型InGaNなどをあげることができる。とくに、i型GaNは好適である。また、バンドギャップエネルギーが上記した高純度なi型GaNのそれよりも小さいかまたは同等であれば、i型 $\text{In}_x\text{Ga}_{1-x-y}\text{Al}_y\text{N}$ （ただし、 $0 < x < 1$ 、 $0 < y < 0.2$ ）をi型半導体層3として用いることもできる。

【0013】n型半導体層4を構成するGaN系化合物半導体としては、例えば、n型AlGaN、n型GaNなどをあげることができる。これらのうち、n型AlGaNは好適である。また、バンドギャップエネルギーが上記n型AlGaNのそれよりも小さいかまたは同等であれば、n型 $\text{In}_u\text{Ga}_{1-u-v}\text{Al}_v\text{N}$ （ただし、 $0 < u < 1$ 、 $0 < v < 0.5$ ）をn型半導体層4として用いることもできる。

【0014】このn型半導体層4の成膜に用いるn型ドーパントとしては、例えば金属Si（MBE法で成膜する場合）やジシラン（MOCVD法で成膜する場合）をあげることができる。このn型半導体層4の上には直接ソース電極Sとドレイン電極Dを装荷することを考えると、両者間でオーミック接触を実現させるため、できるだけ低抵抗となるようにドーパント濃度を設定することが好ましい。例えばn型ドーパントがSiである場合には、 $5 \times 10^{17} \sim 5 \times 10^{18} \text{cm}^{-3}$ 程度の濃度にする。

【0015】次に、p型半導体層5を構成するGaN系化合物半導体としては、p型GaN、p型InGaNをあげることができる。このp型半導体層5は、p型GaN層、p型InGaN層のそれぞれ1層から成っていて

もよいが、p型GaN層の上に更にp型InGaN層を積層して成る2層構造にすることが好適である。このp型半導体層5を成膜するときのp型ドーパントとしては、例えば金属Mg（MBE法で成膜する場合）やシクロペンタジエニルマグネシウム（MOCVD法で成膜する場合）などをあげることができる。このときのp型ドーパントの濃度は $5 \times 10^{17} \sim 5 \times 10^{18} \text{cm}^{-3}$ 程度にする。

【0016】最後に、ゲート電極Gを構成する材料としては例えばAu/Pt、Alなどをあげることができ、またゲート電極Gを構成する材料としては例えばAu、Ti/Alなどをあげることができる。この構造のHEMTは、ゲート電極Gの下がpn接合構造になっている。そして、ゲート電極Gから電圧印加を行うと、n型半導体層4とi型半導体層3のヘテロ接合界面、具体的には、i型半導体層3の最上層部に2次元電子ガス層3aが形成され、そこにn型半導体層4から供給された電子が閉じ込められ、高速でドレイン電極Dへ流れてHEMT動作を実現する。

【0017】その場合、ゲート電極G直下のpn接合の働きにより少量のキャリア注入で電圧が制御され、かつ制御された電圧によってチャネル間を流れる電流を制御することが可能になるので、前記2次元電子ガス層3aを高電圧で制御することが可能になり、2次元電子ガス層3aへの電子の閉じ込め効果も高くなって電子の高速移動が可能になる。

【0018】とくに、p型半導体層5が前記したp型GaNとp型InGaNの2層構造になっている場合には、この積層構造が1種の量子井戸構造として機能し、その結果、量子効果によるトンネル電流が流れるようになり、ゲート電流は流れやすくなるので好適である。

【0019】

【実施例】図1で示した積層構造のHEMTをMOMBE法により次のようにして製造した。まず、半絶縁性のSi単結晶基板1の上に、Ga源として金属Ga（ $5 \times 10^{-7} \text{Torr}$ ）、N源としてジメチルヒドラジン（ $5 \times 10^{-5} \text{Torr}$ ）を用い、成長温度640℃でエピタキシャル成長を行い、厚み50nmのGaNバッファ層2を成膜した。

【0020】ついで、N源をアンモニア（ $5 \times 10^{-5} \text{Torr}$ ）に切り換え、成長温度を850℃に上昇してエピタキシャル成長を行い、厚み5000nmのi型GaN層3を成膜した。なお、このときのキャリア濃度は $5 \times 10^{16} \text{cm}^{-3}$ 以下となるように成膜条件を設定した。

【0021】ついで、金属Al（ $2 \times 10^{-7} \text{Torr}$ ）を供給し、またn型ドーパントとして金属Si（ $2 \times 10^{-9} \text{Torr}$ ）を供給し、成長温度850℃でエピタキシャル成長を継続して、厚みが500nmのn型AlGaN層4を成膜した。このとき、キャリア濃度は $1 \times 10^{18} \text{cm}^{-3}$ となるように成膜条件を設定した。ついで、金属Siの供

給を絶ち、p型ドーパントとして金属Mg (5×10^{-9} Torr) を供給して成膜操作を続け、前記n型AlGaIn層4の上に厚み500 のp型GaIn層6を成膜した。このとき、キャリア濃度は $1 \times 10^{18} \text{cm}^{-3}$ となるように成膜条件を設定した。

【0022】 水素とアルゴンとメタンの混合ガスをプラズマ化したものをエッチャントにしてドライエッチングを行い、ゲート電極を装荷すべき箇所以外のp型GaIn層をエッチング除去してn型InGaIn層4を表出させた。その後、全体の表面を被覆してSiO₂膜をプラズマCVD法で成膜し、ホトレジストでパターニングしたのちゲート電極を装荷すべき箇所を含む部分をマスキングし、ソース電極とドレイン電極を装荷すべき箇所は開口し、そこに表出したn型InGaIn層4の上に、金属Alを蒸着することにより、ソース電極Sとドレイン電極Dを装荷した。

【0023】 最後、前記マスキングをエッチング除去し、その下のSiO₂膜を開口し、ソース電極Sとドレイン電極Gの箇所をSiO₂膜でマスキングしたのち、上記開口部にAuを蒸着してp型GaIn層5の上にはゲート電極Gを装荷して図1で示したHEMTを製造した。このHEMTは、ゲート電圧からの印加電圧を3Vでドレイン電流(I_{ds})が60mA、ドレイン電圧2V以上で飽和するHEMT特性が得られた。すなわち、この飽和特性はV_{ds}を100Vまであげても一定値を保ち、HEMTとしての機能を喪失することはなかった。 *

*【0024】 室温下でのこのHEMT構造の移動度は、 $600 \text{cm}^2/\text{V}\cdot\text{sec}$ であり、77Kでの移動度は $7500 \text{cm}^2/\text{V}\cdot\text{sec}$ と良好な値を示した。

【0025】

【発明の効果】 以上の説明で明らかなように、本発明のGaIn系HEMTは、ゲート電極をVまで高めても故障を起こすことがなく、従来のGaIn系HEMTに比べて高速動作をすることができる。これは、ゲート電極とチャネル層との間をpn接合構造とし、i型半導体層とn型半導体層との接合界面に電子の閉じ込め効果が優れている2次元電子ガス層が形成されるようにしたことがもたらす効果である。

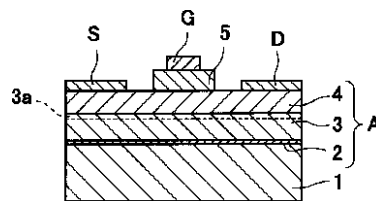
【図面の簡単な説明】

【図1】 本発明のHEMTの層構造を示す断面図である。

【符号の説明】

- | | |
|----|--------------------|
| 1 | 半絶縁性基板 |
| 2 | バップ層 (GaIn層) |
| 3 | i型半導体層 (i型GaIn層) |
| 3a | 2次元電子ガス層 |
| 4 | n型半導体層 (n型InGaIn層) |
| 5 | p型半導体層 (p型GaIn層) |
| S | ソース電極 |
| G | ゲート電極 |
| D | ドレイン電極 |

【図1】



Christopher Field
Japanese Technical Interpreting and Translation
52 Sherman's Bridge Rd., Wayland MA 01778 Tel. 617-905-6060
www.christopherfield.com



Verify at www.atanet.org/verify

CERTIFICATION OF TRANSLATION

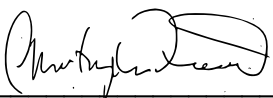
I, Christopher L. Field, residing at 52 Sherman's Bridge Rd., Wayland MA, 01778, United States of America, declare and state as follows:

I am well acquainted with the English and Japanese languages. I have translated numerous Japanese documents of legal and/or technical content into English. I am fully accredited by the American Translators Association (ATA) for Japanese to English translation, and my ATA certification number is 423514.

I have personally translated the attached document, entitled "JP1999-261053" from Japanese into English. I hereby certify that the English translation of the attached documents is an accurate translation to the best of my knowledge and ability.

I further declare that all statements made herein of my own knowledge are true, that all statements made on information and belief are believed to be true, and that these statements were made with the knowledge that willful false statements and the like so made are punishable by fine or imprisonment, or both, under Section 1001 of Title 18 of the United States Code.

Executed at Wayland, Massachusetts, 28 July, 2023.

Signed, _____

Christopher Field

ATA Certified Translator, Japanese to English, Certificate No. 423514